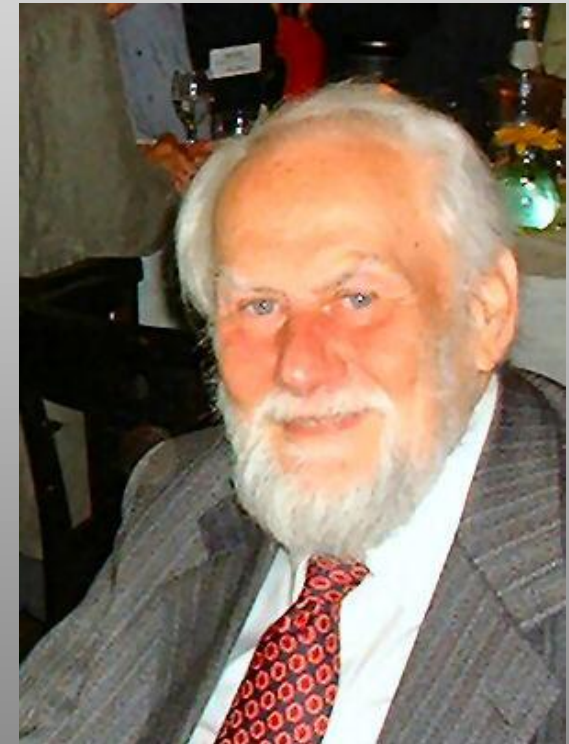
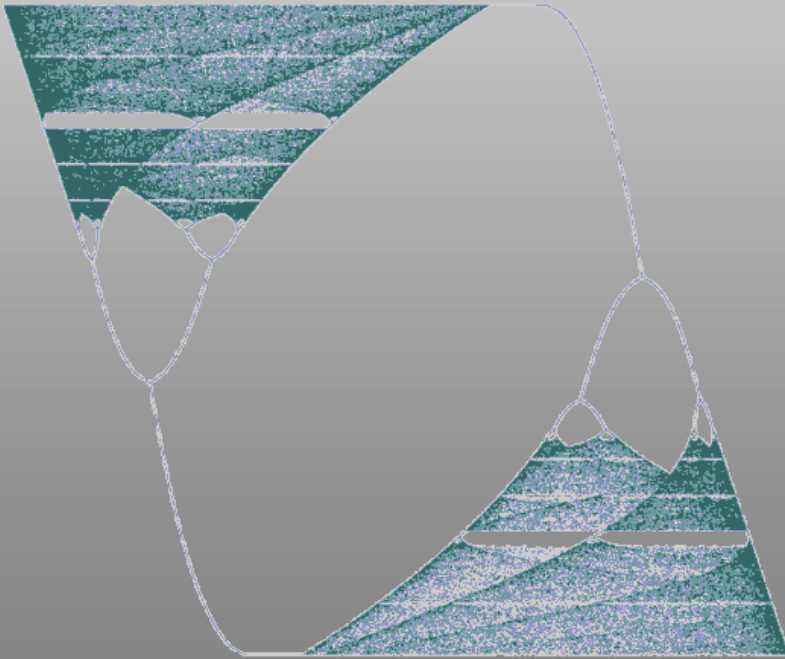


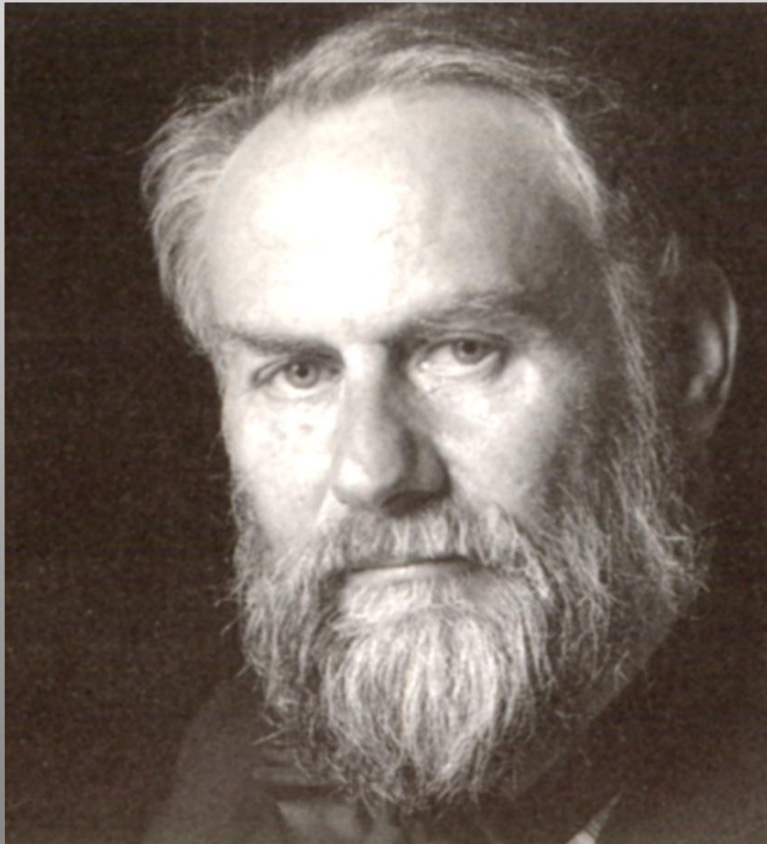
Synergetic Impact of Synergetics - Remembrances of a Chemist -

Peter J. Plath



Hermann Haken
father of synergetics

What means synergetics ?



Zitat: H.Haken zur Synergetik:

"Was wir untersuchen, ist das **gemeinsame Wirken vieler Untersysteme**, das derart verläuft, daß es Strukturen und Funktionen auf einer makroskopischen Skala erzeugt."

What we are looking for that is the action of many sub-systems in common, creating structures and new functions on a macroscopic scale.

H. Haken; Synergik – eine Einführung, Springer-Verlag Berlin, Heidelberg, ... (1990) Vorwort 1976

Convection Instability / Bénard-Instability I

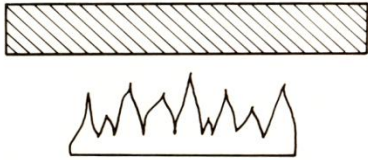


Abb. 1.14. Flüssigkeitsschicht, die von unten erwärmt wird, bei kleinen Rayleigh-Zahlen. Wärme wird über Wärmeleitung transportiert

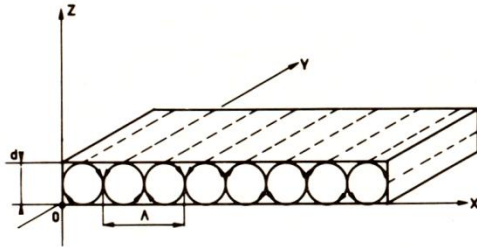


Abb. 1.15. Flüssigkeitsbewegung in der Form von Rollen bei Rayleigh-Zahlen, die etwas über der kritischen Rayleigh-Zahl liegen



Abb. 1.16. Zellstruktur der Bénard-Instabilität von oben her gesehen. Nach S. Chandrasekhar: *Hydrodynamic and Hydromagnetic Stability* (Clarendon Press, Oxford 1961)

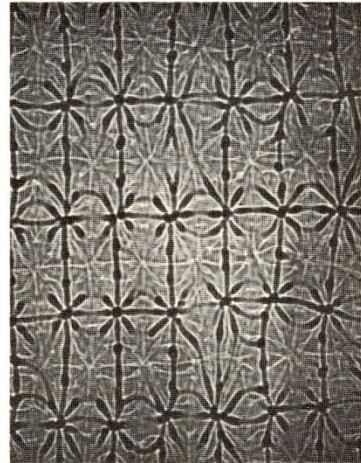


Abb. 1.17. Muster der Flüssigkeitsbewegung bei sehr hohen Rayleigh-Zahlen. Nach F. H. Busse, J. A. Whitehead: *J. Fluid Mech.* 47, 305 (1971)

low temperature gradient

$$\frac{\partial T}{\partial t} = \kappa \nabla^2 T; \quad \kappa > 0$$

Fourier law

subsystem: „molecule“

large temperature gradient

convection cells

subsystem: „droplets“

mesoscopic areas of the liquid

Bénard Instabilities II

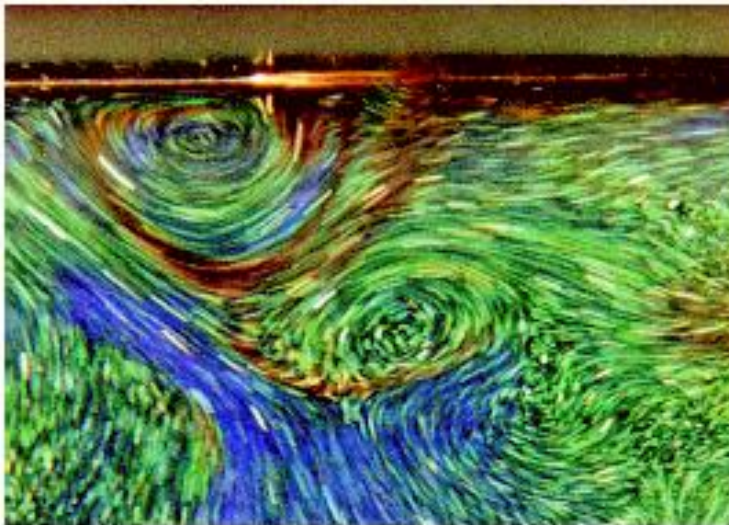


Abb. 4: Um die turbulente Strömung in einer Rayleigh-Bénard-Zelle (RB) zu visualisieren, wurden Flüssigkristalle zugesetzt, die je nach Temperatur eine andere Farbe zeigen. Man sieht deutlich, wie sich kalte *plumes* (rot) aus der oberen, kalten Grenzschicht ablösen. Gezeigt wird nur ein kleiner Teil der RB-Zelle, dicht bei der oberen Platte. Das Bild wurde von Yibing Du und Peng-Tong (Oklahoma) aufgenommen (<http://physics.okstate.edu/ting/homepage.html>).

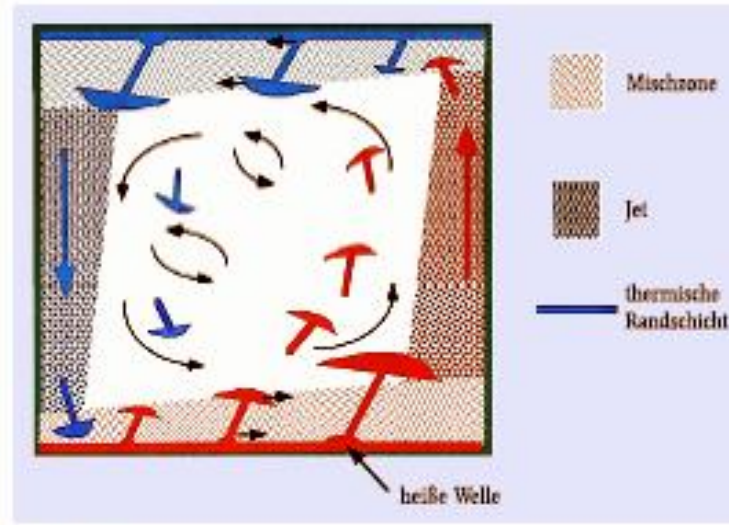


Abb. 5: Illustration der thermischen Konvektion. In den roten Bereichen ist das Fluid wärmer, in den blauen kälter. Man erkennt die warmen und kalten *plumes*, die sich von den Randschichten ablösen und die Turbulenz antreiben. Die Pfeile geben die Strömungsrichtung an. Man vergleiche diese Skizze mit der direkten Visualisierung in Abb. 4. (Skizze von Leo Kadanoff, *Physics Today*, August 2001, S. 34).

G. Ahlers, S. Großmann, D. Lohse;

Physik Journal 1 (2002) 31 - 37

Chemical Front Instabilities fractal fronts in Runge pictures



Ferdinand Runge
1794 - 1867

Musterbilder
1850

Bildungstrieb
1855

$$D(\alpha) = 0.9331$$



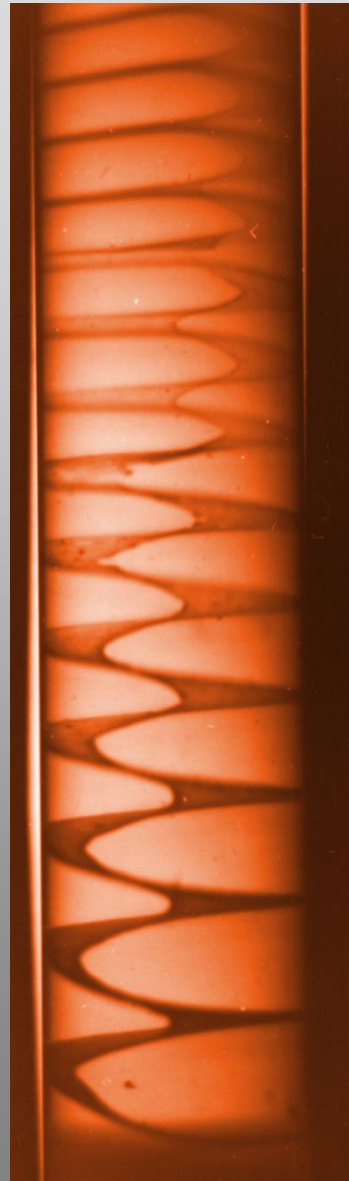
$$D(\alpha) = \frac{\ln \sum_{n=1}^i \sqrt{r_{i-1}^2 + r_i^2 - 2r_{i-1}r_i \cos s} - \ln k}{\ln(1/s)}$$

F.F. Runge; Zur Farbenchemie – **Musterbilder** für Freunde des Schönen,
und zum Gebrauch für Zeichner, Maler und Zeugdrucker, Berlin (1850)

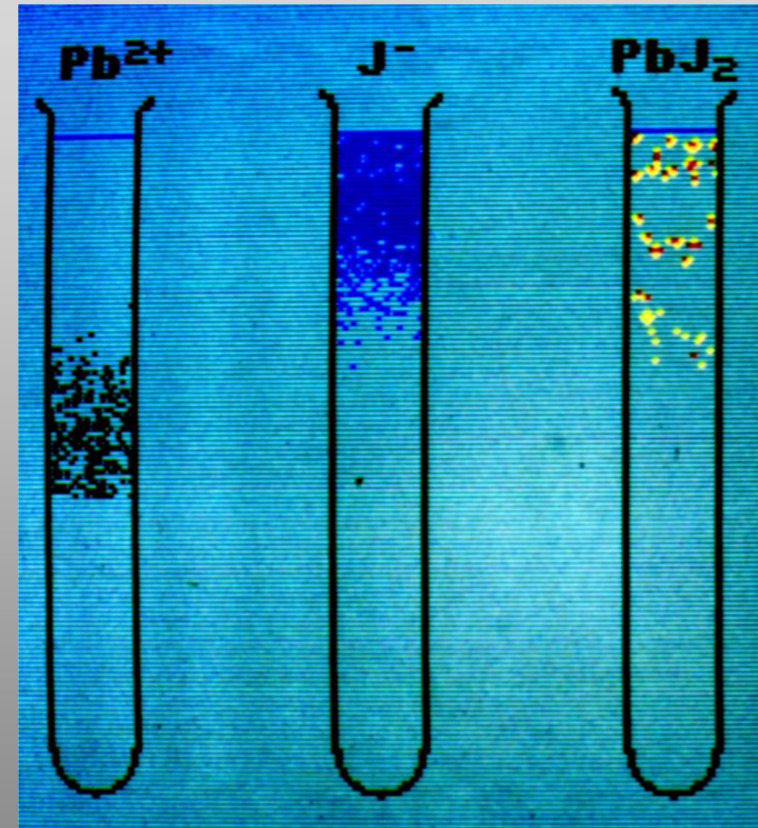
Liesegang Structures



Raphael Liesegang
1869 -1947



Liesegang's Photographisches Archiv,
Nr. 801; Düsseldorf, 1. Nov. 1896; Heft XXI



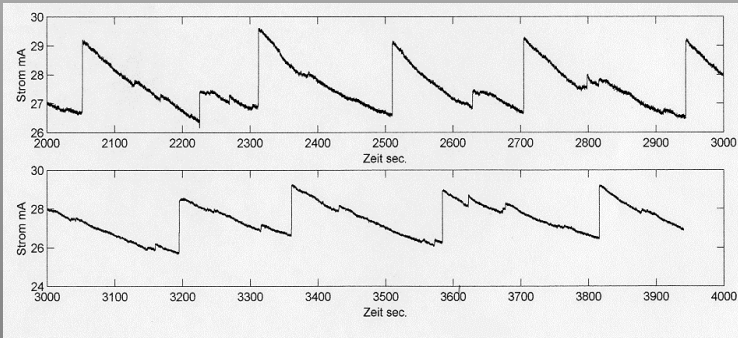
Preprecipitation reactions in Gels
2D simulation on a cyclically closed
cellular automaton

Wilhelm Ostwald's Swinging Chromium



**“Periodische
Erscheinungen bei der
Auflösung des Chroms
in Säuren”**

**Z. phys. Chemie 35
(1900) 33 - 76
Z. phys. Chemie 35
(1900) 204 - 256**





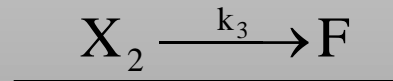
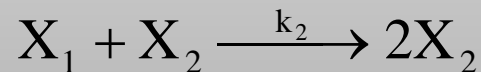
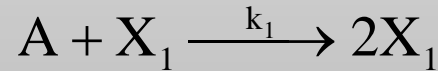
Alfred James Lotka
(1880-1949)

Chemist, mathem. Biologist

A.J. Lotka; „Zur Theorie der periodischen Reaktionen“, Z. phys. Chemie **72 (1910)** 508 - 511

Lotka – Volterra – Model

Chemical equation



Kinetic equation

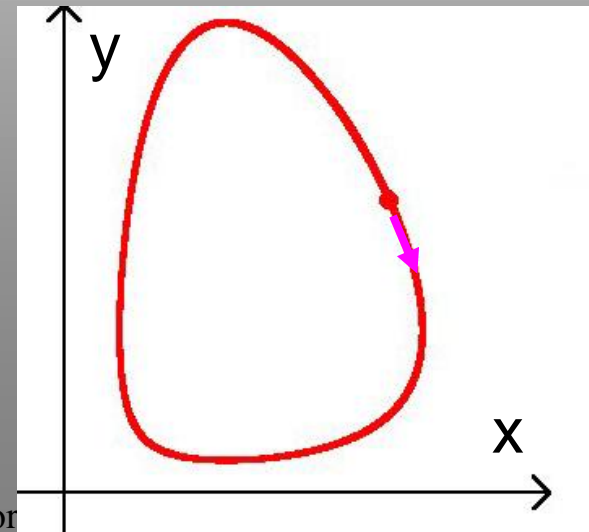
$$\frac{dc_1}{dt} = k_1'c_a c_1 - k_2'c_1 c_2$$

$$\frac{dc_2}{dt} = k_2'c_1 c_2 - k_3 c_2$$



Vito Volterra (1860 – 1940)

Mathematician, Physicist



K.F. Bonhoeffer Electro-chemical Oscillations



Karl Friedrich Bonhoeffer

(1899 – 1957)

Physical Chemist

K.F. Bonhoeffer; Ber. Verh.
Sächs. Akad. Wiss. zu Leipzig
math.-nat. wiss. Klasse 95, S.
Hirzel (1943) 58 - 70

68

Karl Friedrich Bonhoeffer:

im gleichen Richtungssinn einer geschlossenen Kurve an. In dem hervorgehobenen Grenzfall des langsam veränderlichen η - oder y , wenn wir jetzt

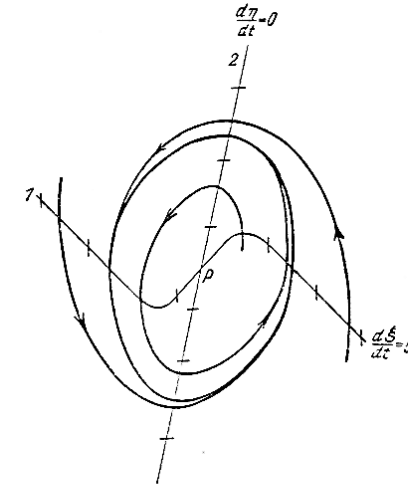


Fig. 9. Bahnkurven in größerer Entfernung von P. Anschmiegern der Spiralen von innen und außen an eine geschlossene Kurve

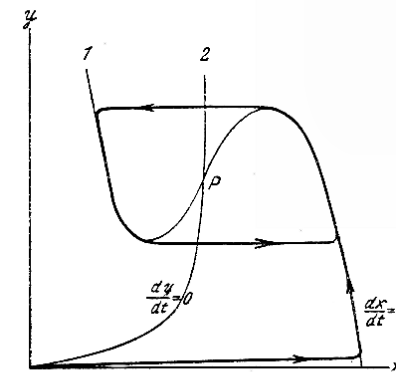
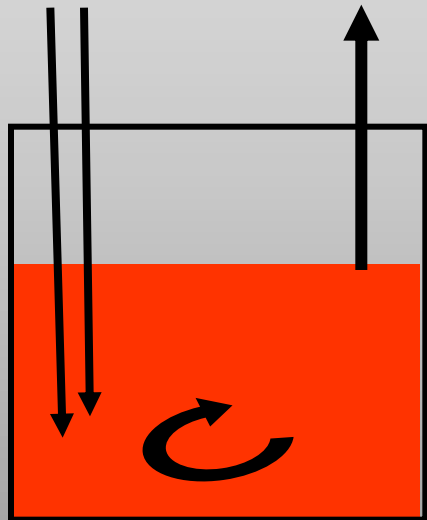


Fig. 10. Bahnkurven bei langsam veränderlichen y . Entstehen von Kippschwingungen

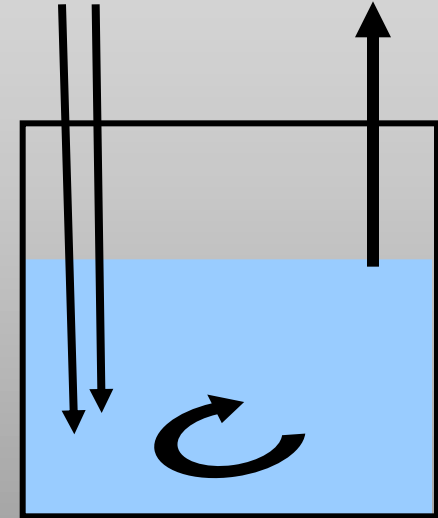
Reaction Instabilities / Chemical Oscillation



Cont. Stirred Tank
reactor (CSTR)

Boris Pawlowitsch
Belousov (1893 - 1970)

Oscillations
↔



Cer - catalysed
Bromination of citric
acid (1950 /1959)

**A.T. Winfree; J. Chem.
Educ.(1984) 661 - 663**

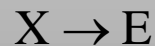
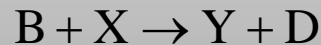
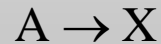
Auto-Catalysis and Chemical Reaction 1967/68



Ilya Prigogine
1917 – 2003

Physical - Chemist

Chemical Equations



Kinetic Equations

$$\frac{dX}{dt} = A + X^2Y - BX - X$$

$$\frac{dY}{dt} = BX - X^2Y$$

Ilya Prigogine, R.Lefever;

J. Chem. Phys. **48**,4 (1968) 1695 - 1700

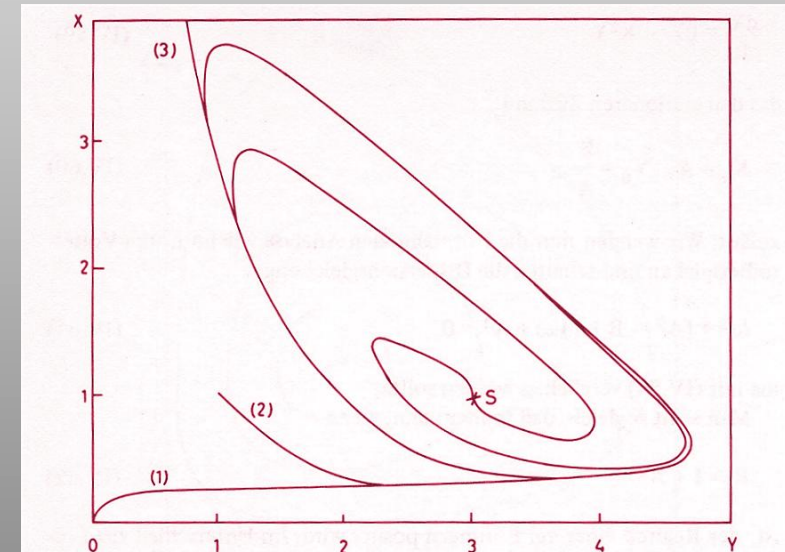
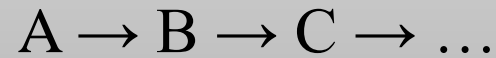


Abb. IV.8 Grenzyklus-Verhalten des „Brüsselators“:
Dieselbe periodische Trajektorie wird für verschiedene Anfangsbedingungen erhalten. (S bezeichnet einen instabilen stationären Zustand.)

Brusselator - Limit-Cycle

Consecutive Reaction

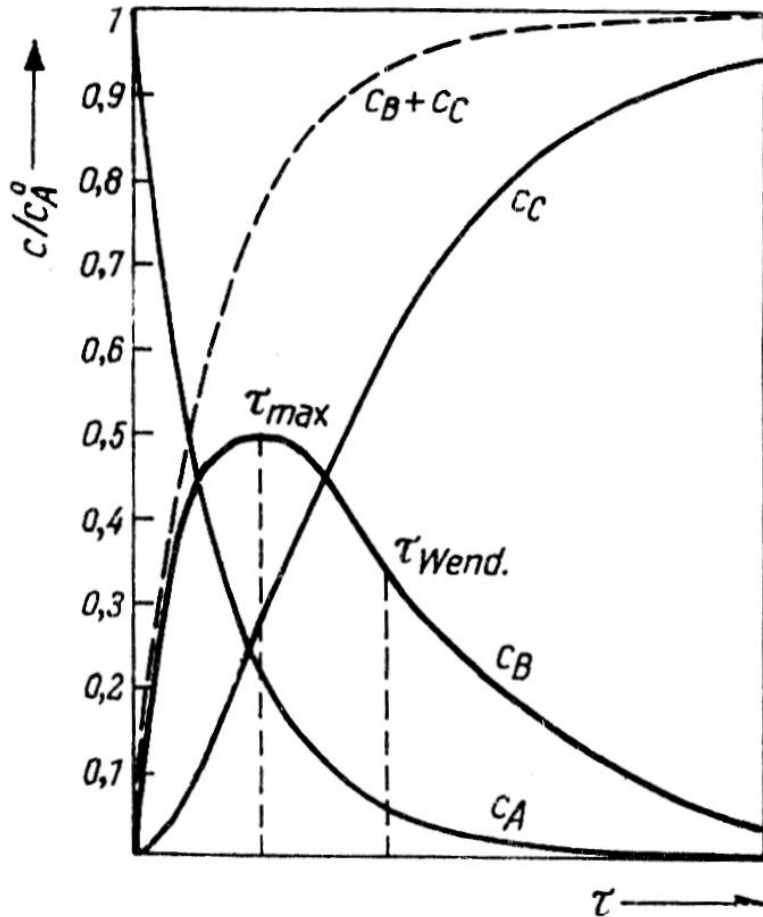
Non-equilibrium reaction



$$-\frac{dc_A}{dt} = k_1 c_A = k_1 c_A^0 e^{-k_1 t}$$

$$\frac{dc_B}{dt} = k_1 c_A - k_2 c_B = k_1 c_A^0 e^{-k_1 t} - k_2 \frac{k_1 c_A}{k_2 - k_1} (e^{-k_1 t} - e^{-k_2 t})$$

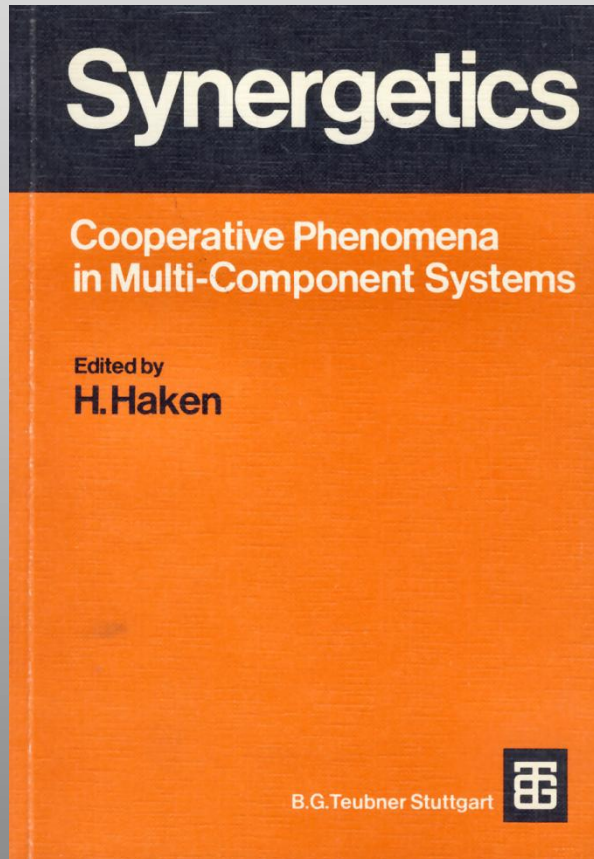
$$\frac{dc_C}{dt} = k_2 c_B = k_2 \frac{k_1 c_A}{k_2 - k_1} (e^{-k_1 t} - e^{-k_2 t})$$



Concentration of the substances in the consecutive reaction $A \rightarrow B \rightarrow C$

Text book example; R. Brdička, Grundlagen der Physikalischen Chemie (1963) 723

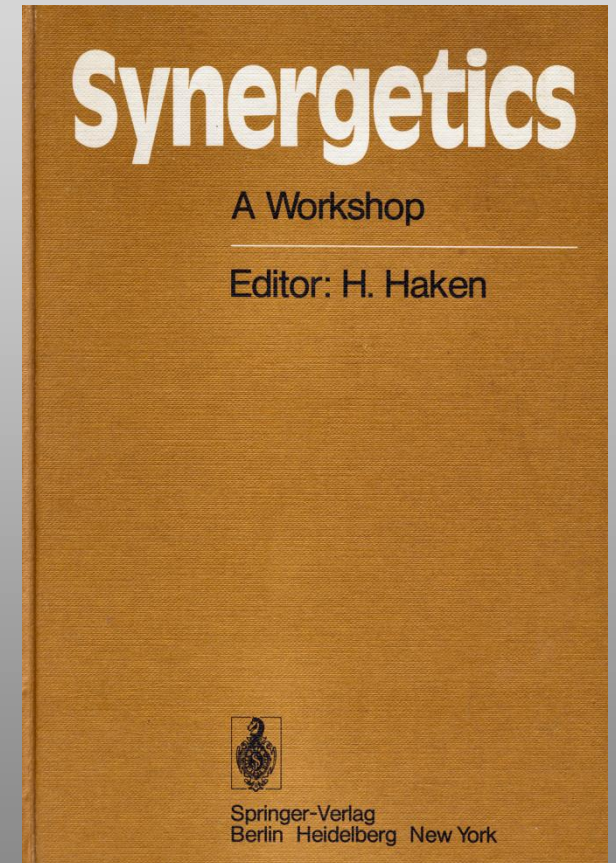
Synergetics



Schloß Elmau 1972

“Synergetics is a rather new field of interdisciplinary research which studies the self-organized behaviour of systems leading to the formation of structures functionings.”

Preface 1977; vol. 2



Schloß Elmau 1977



U.F. Franck, E. Wicke, O.E. Rössler and many others

Franck: Feedback Kinetics in physico-chemical Oscillators

Wicke: Unstable and Oscillatory Behaviour in Heterogeneous Catalysis

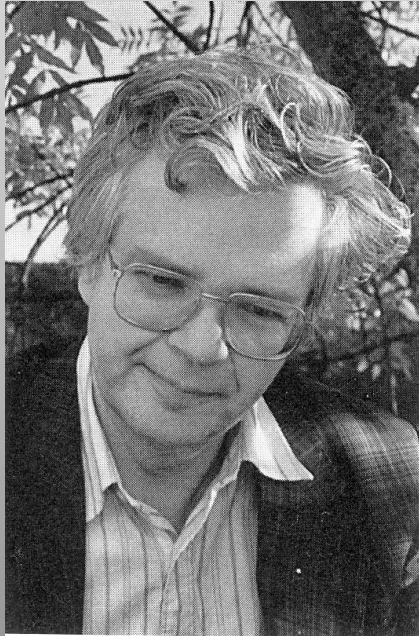
Zhabotinsky: Oscillating Bromide Oxidative Reactions

Gray: Thermokinetic Oscillations in Gaseous Systems

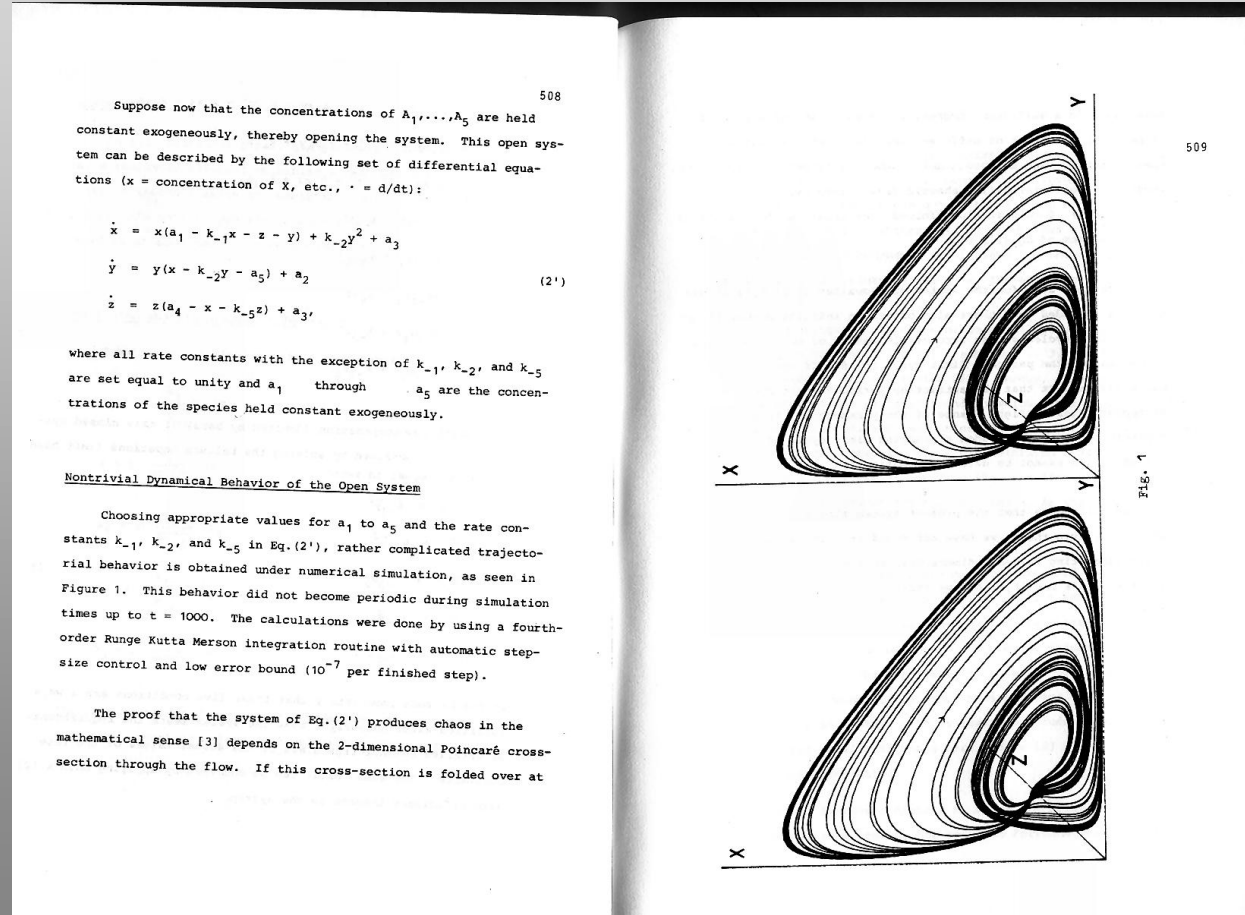
...

Bunsengesellschaft, Aachen 1979

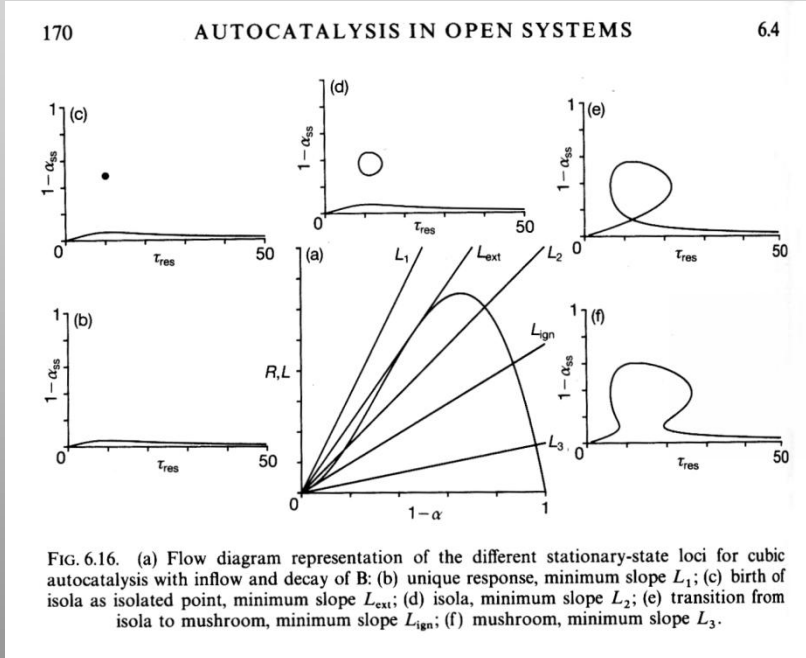
O. Rössler 1979: "Chaos ... can be realized in simple chemical systems."



O.E. Rössler



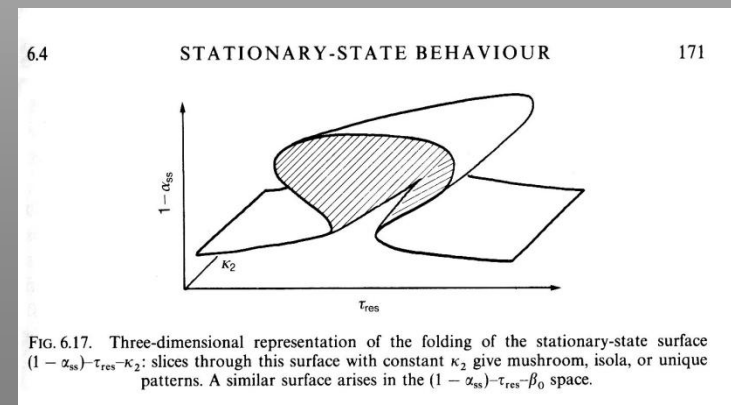
Auto-Catalysis – Classification of Static Instabilities



P. Gray , St. Scott; *Chemical Oscillations and Instabilities*; Clarendon Press - Oxford (1990)
P. 170 /171



Peter Gray in discussion, Aachen 1979

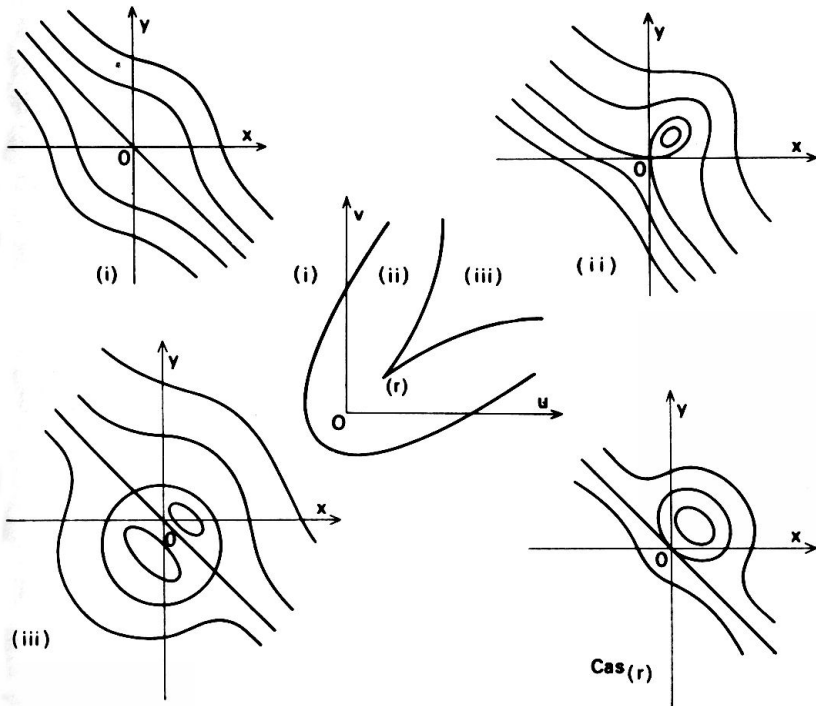


Elementary Approach to Thom's Catastrophe-Theory



René Thom

5.5 Klassifikation von statischen Instabilitäten 155



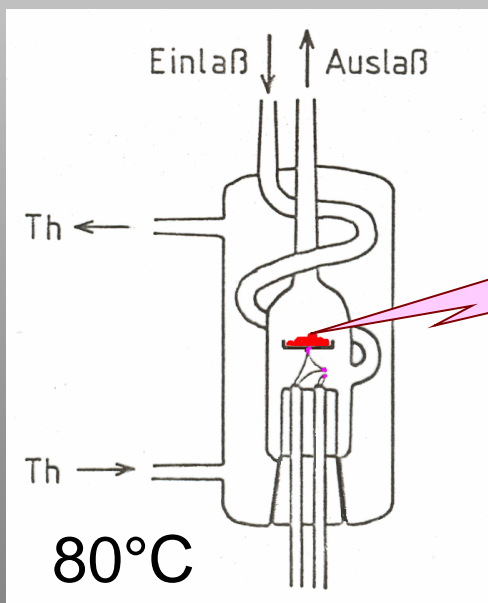
H. Haken: universal unfolding of a hyperbolic umbilic;
Synergetik - Eine Einführung S.155

Abb. 5.25. Die universelle Entfaltung des hyperbolischen Nabels (am Zentrum), umgeben von lokalen Potentialen in den Gebieten (i) – (iii) und am „Cusp“ (nach Thom)

Heterogeneously catalysed Methanol oxidation

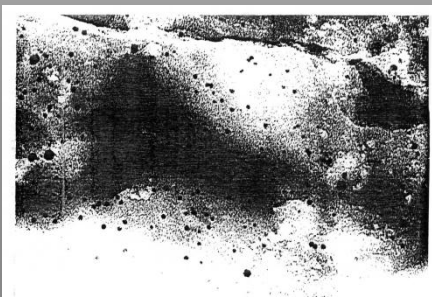


Synchronous behaviour of Pd catalyst particles

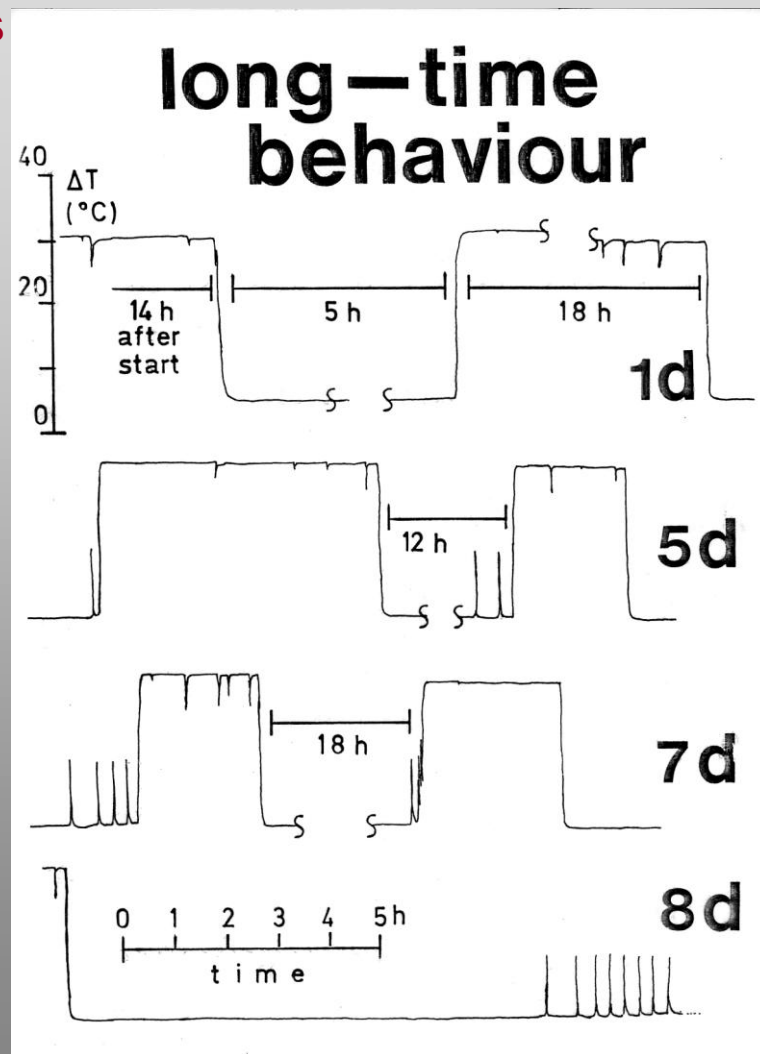


open system

Pd – support catalyst



Pd – catalyst

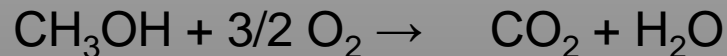


A. Th. Haberditzl , Diplom Thesis 1982

Methanol Oxydation – Catastrophy Theory

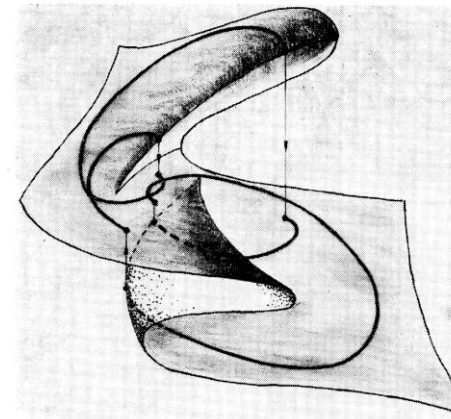
Classification of static
Instabilities – an
elementary approach to
Thom's Catastrophy
Theorie

**H. Haken Synergetik - Eine
Einführung S. 145**



In der Begrifflichkeit der Katastrophentheorie läßt sich diese Entwicklung des Systems recht anschaulich darstellen. Abbildung 9 zeigt die prinzipielle Gestalt der Lösungsmannigfaltigkeit des zugrunde liegenden Differentialgleichungssystems, in der die Trajektorie verläuft.

Die Entwicklung läßt sich in diesem Rahmen durch eine zeitliche Änderung der Faltung der Lösungsmannigfaltigkeit beschreiben oder als Drift des Systems der Trajektorien auf der gegebenen Mannigfaltigkeit. Eine derartige Drift würde aber einer Änderung der äußeren Parameter entsprechen, die durch die experimentelle Anordnung ja gerade ausgeschlossen wurde.



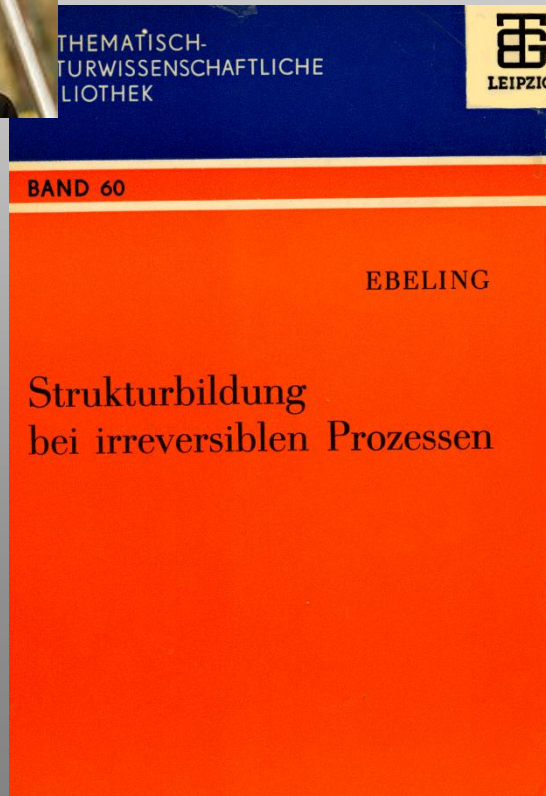
**cross - cusp
catastrophe**

Abb. 9. Skizze der Einbettung der Trajektorien des bistabilen Reaktionssystems in eine „zweidimensionale“ Mannigfaltigkeit nach der Art einer gekreuzten cusp-Katastrophenfläche

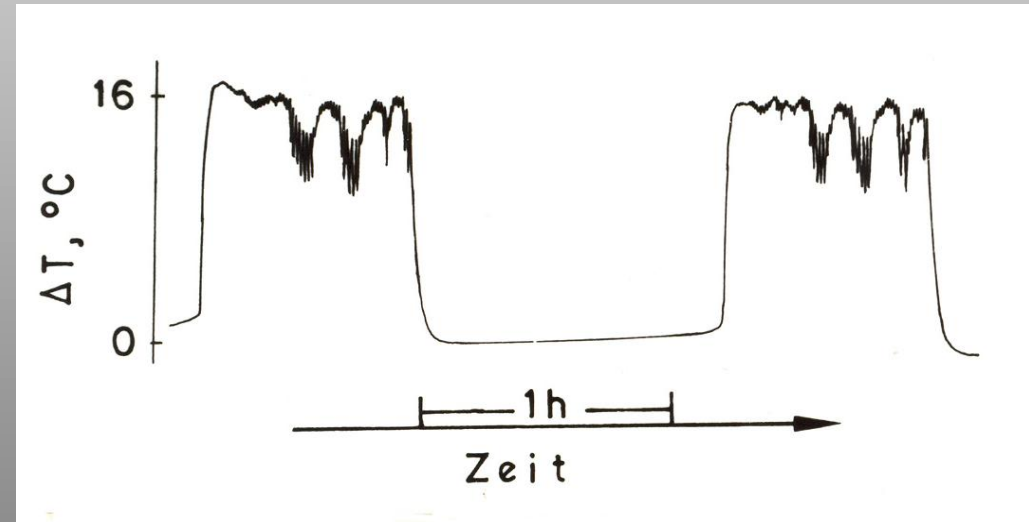
**A.Th.Haberditzl; N.I. Jaeger; P.J.Plath; Z.
phys. Chemie, Leipzig 265 (1984) 449 -463**



The non-moleculare perception Chemistry – far from equilibrium



1976



Pd-catalysed
 CH_3OH -Oxydation

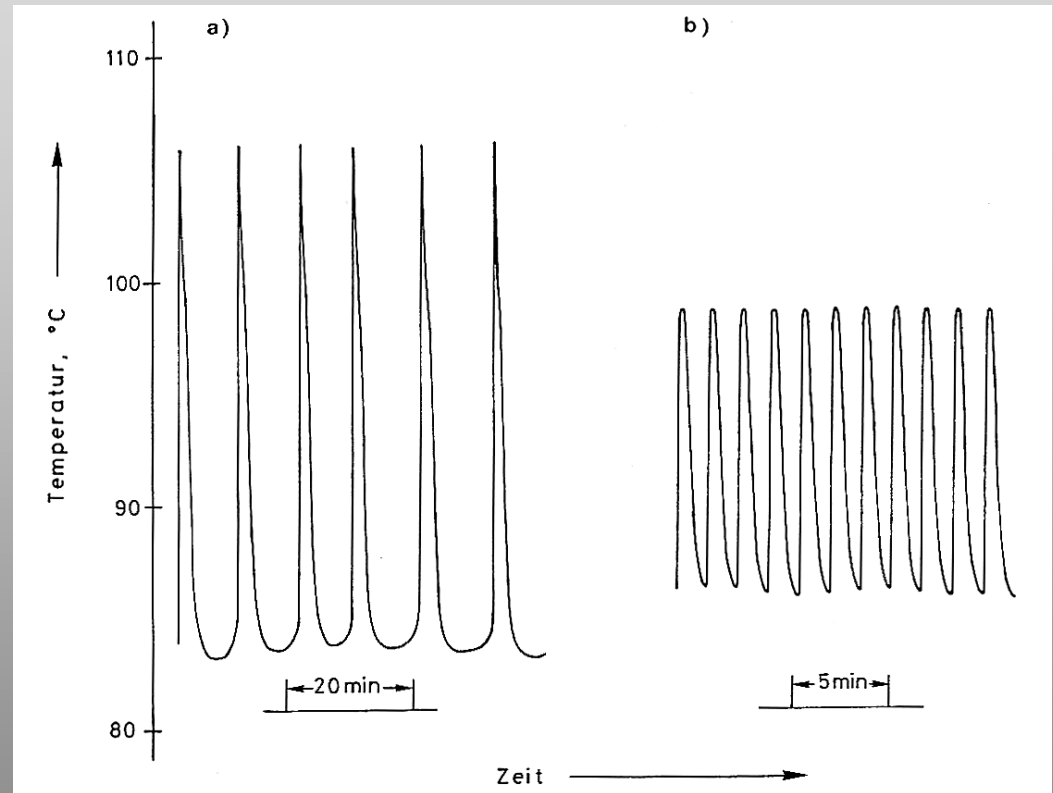
Oscillating Methanol-Oxidation

Critical values and
trajectories in phase-space

limit cycles



Edith van Raaij



a) Methanol 1,9 Vol % / Oxygen; 41 ml/min

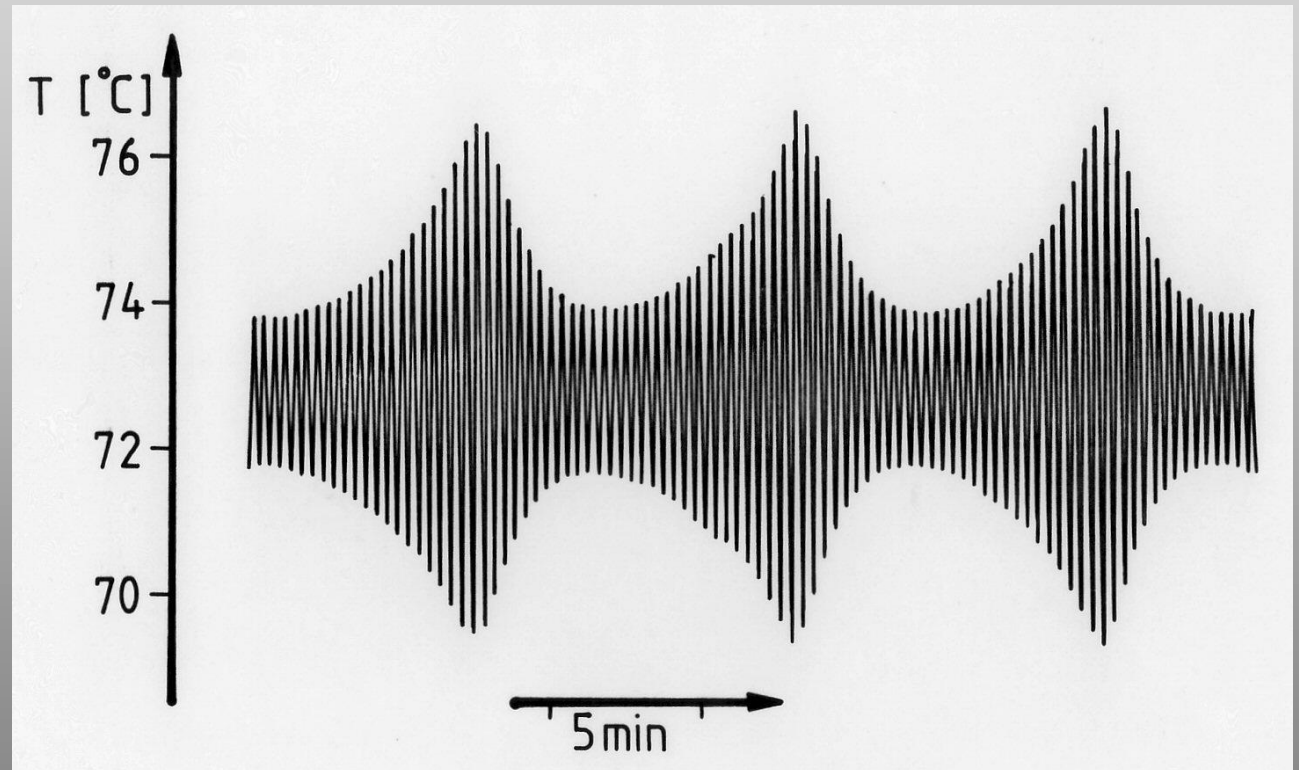
b) Methanol 1,9 Vol % / air; 19 ml /min

E. van Raaij , Diplom Thesis 1980

Toroidal Oscillations of the catalytic Methanol-Oxidation



Peter Svensson
1985

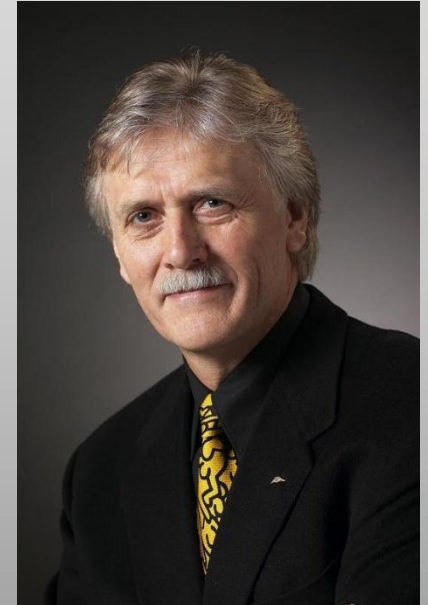




Fractals

Dimension: rat. numbers

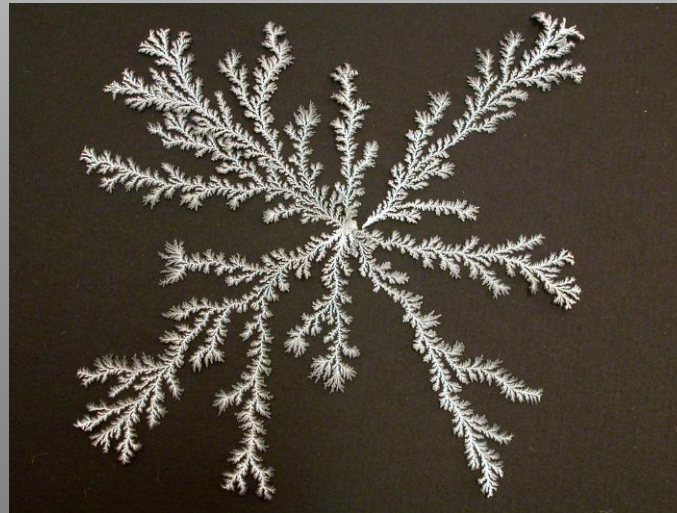
Benoit
Mandelbrot



Heinz Otto
Peitgen



Beer frost –
Apollonic structures



Elektro-chemical
deposition of Zinc

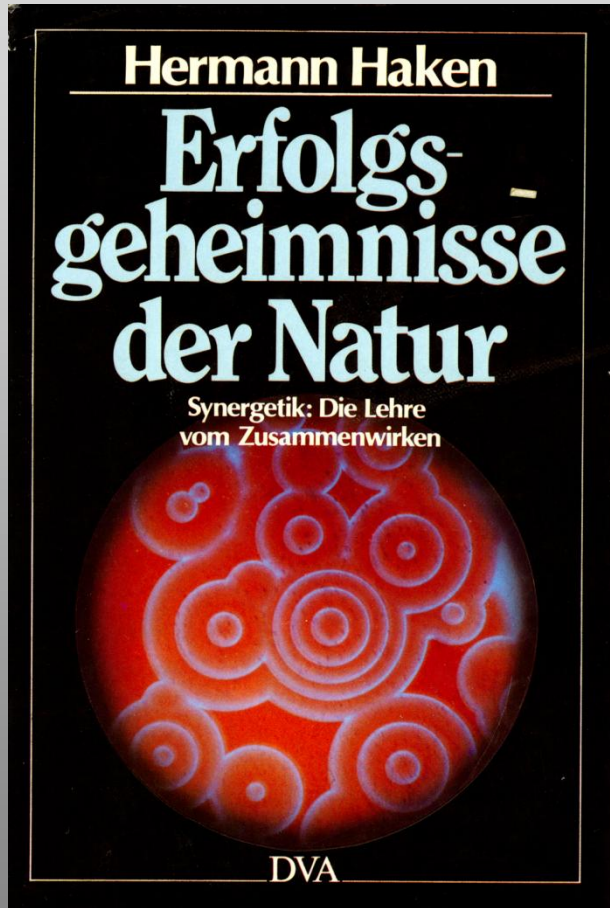
Chemical Waves

A local oscillation in an excitable medium becomes a chemical wave by diffusion

$$\frac{\partial c}{\partial t} = D \nabla^2 c; \quad D > 0 \quad \text{2nd Fick's law}$$

Reaction-Diffusion-Equations

$$\frac{\partial c_i}{\partial t} = f_i(c_1, c_2, \dots, c_n) + D_i \nabla^2 c_i$$

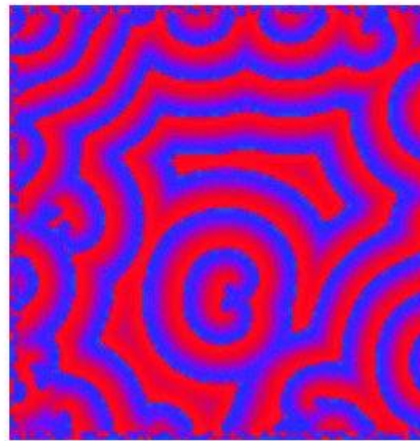
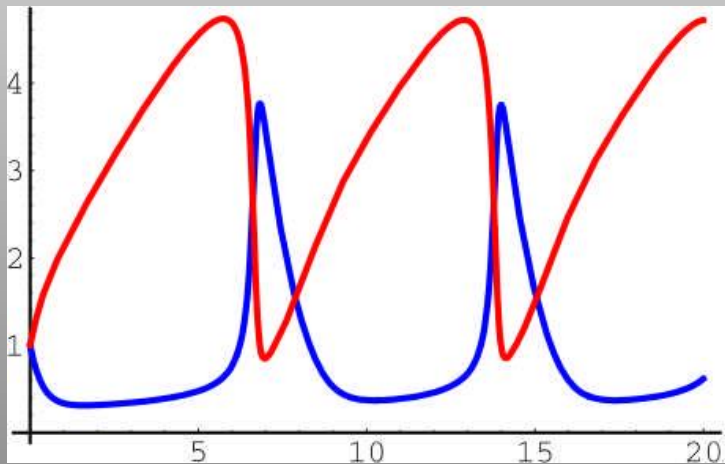


Belousov – Zhabotinsky Reaction - BZR -

$$\frac{dX}{dt} = k_1 A - k_2 B X + k_3 X^2 Y - k_4 X$$

$$\frac{dY}{dt} = k_2 B X - k_3 X^2 Y$$

Self-organisation in spatially expanded media



$$\frac{\partial X(\vec{x}, t)}{\partial t} = D_X \cdot \nabla^2 X(\vec{x}, t) + k_1 A - k_2 B X(\vec{x}, t) + k_3 X^2(\vec{x}, t) Y(\vec{x}, t) - k_4 X(\vec{x}, t)$$

$$\frac{\partial Y(\vec{x}, t)}{\partial t} = D_Y \cdot \nabla^2 Y(\vec{x}, t) + k_2 B X(\vec{x}, t) - k_3 X^2(\vec{x}, t) Y(\vec{x}, t)$$

CO-Oxidation on Pt (100) single crystal surfaces



G. Ertl

1936- ...

Physicist, Physical
Chemist



Spirals during single crystal
catalysis of CO-oxidation on
Pt(100)

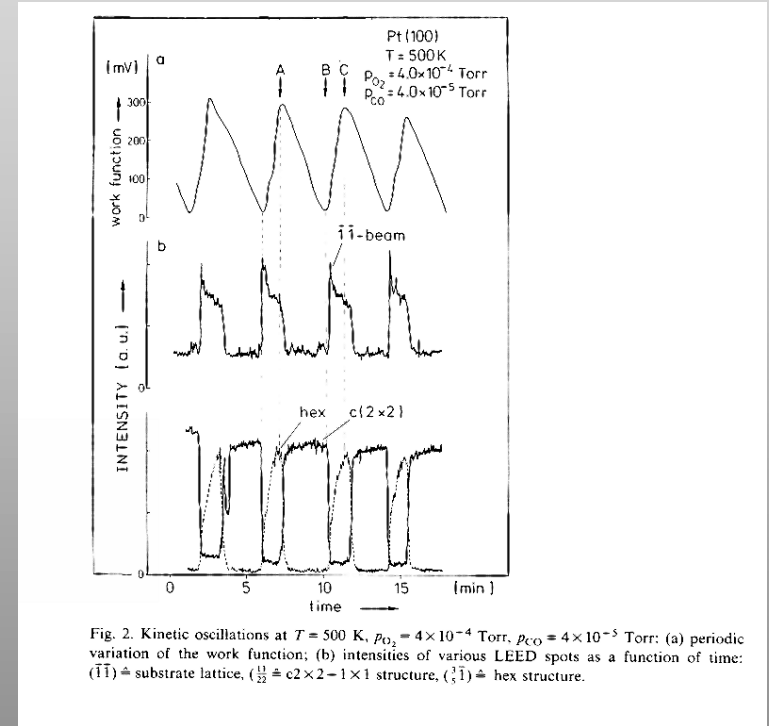
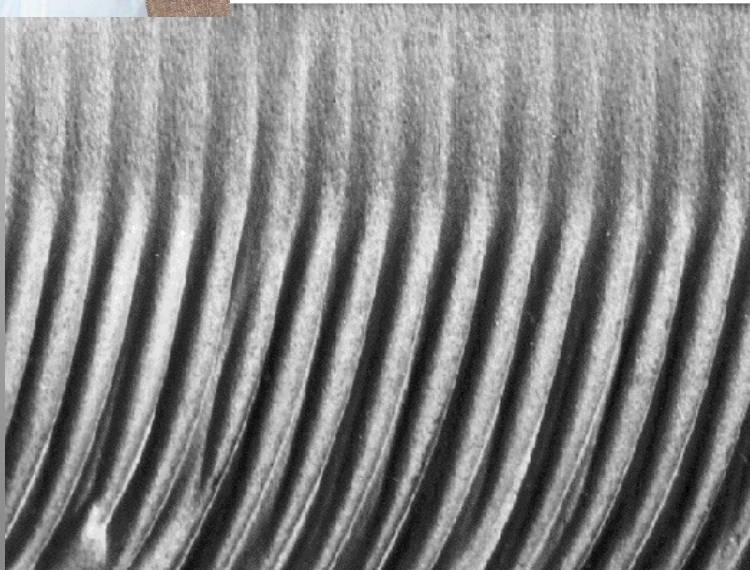


Fig. 2. Kinetic oscillations at $T = 500 \text{ K}$, $p_{\text{O}_2} = 4 \times 10^{-4} \text{ Torr}$, $p_{\text{CO}} = 4 \times 10^{-5} \text{ Torr}$: (a) periodic variation of the work function; (b) intensities of various LEED spots as a function of time: $(\bar{1}\bar{1}) \hat{=}$ substrate lattice, $(\frac{1}{2}\frac{1}{2}) \hat{=}$ $c2 \times 2 - 1 \times 1$ structure, $(\frac{1}{3}\frac{1}{3}) \hat{=}$ hex structure.

Cox, Ertl, Imbihl, Rüstig; *Surface Science* 134 (1983) 1.517- 1.523

Synergetic Impact of Synergetics



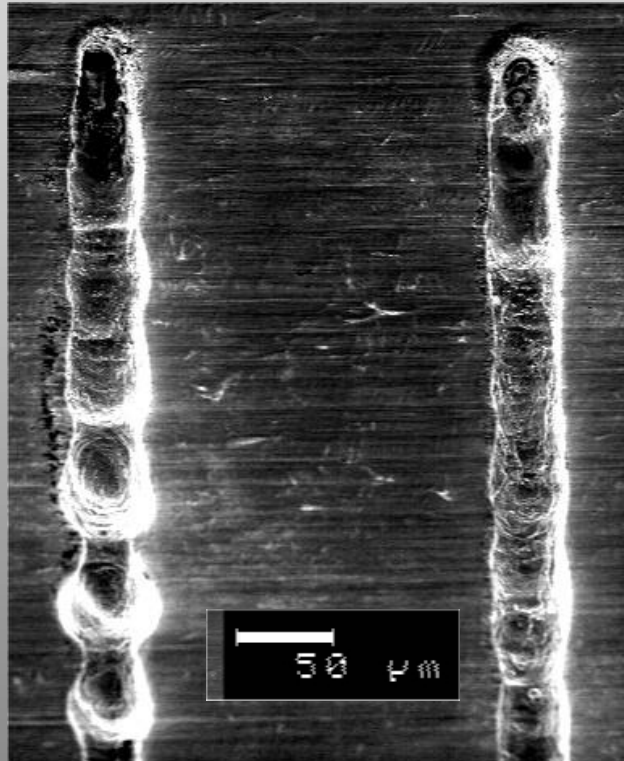
Ripples occurring during
abrasive water-jet-cutting

G. Radons, R. Friedrich
et al. 2003

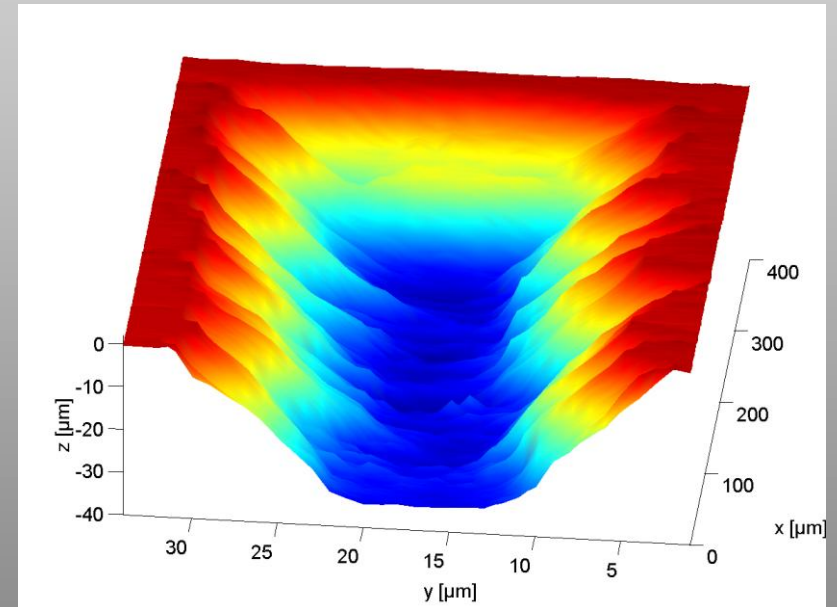


Thomas
Rabow

Formation of ripples during laser-jet etching



different rates of feed

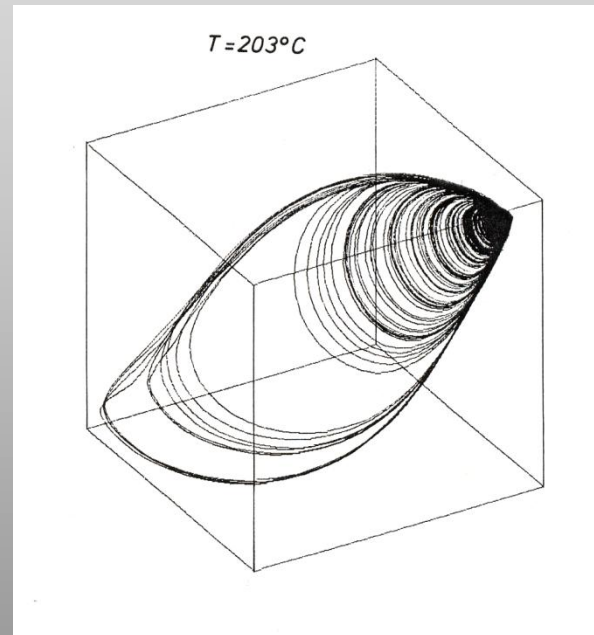


Laser Scan surface profile

Chaos during the Catalytic CO-Oxidation



Prof. Dr. Nils Jaeger

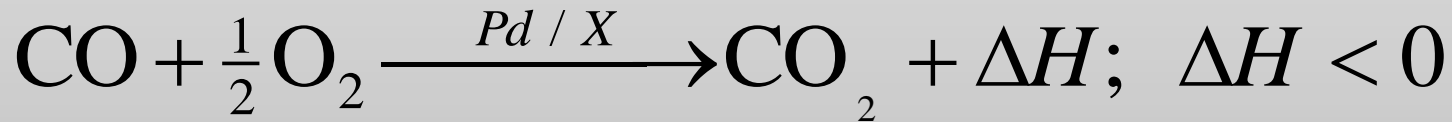


Chaotic attractor of
Pd-catalysed CO-
Oxidation

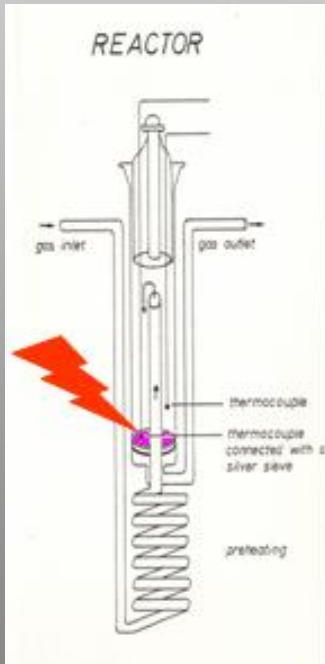


Dr. Karin Möller

The Real Catalytic System



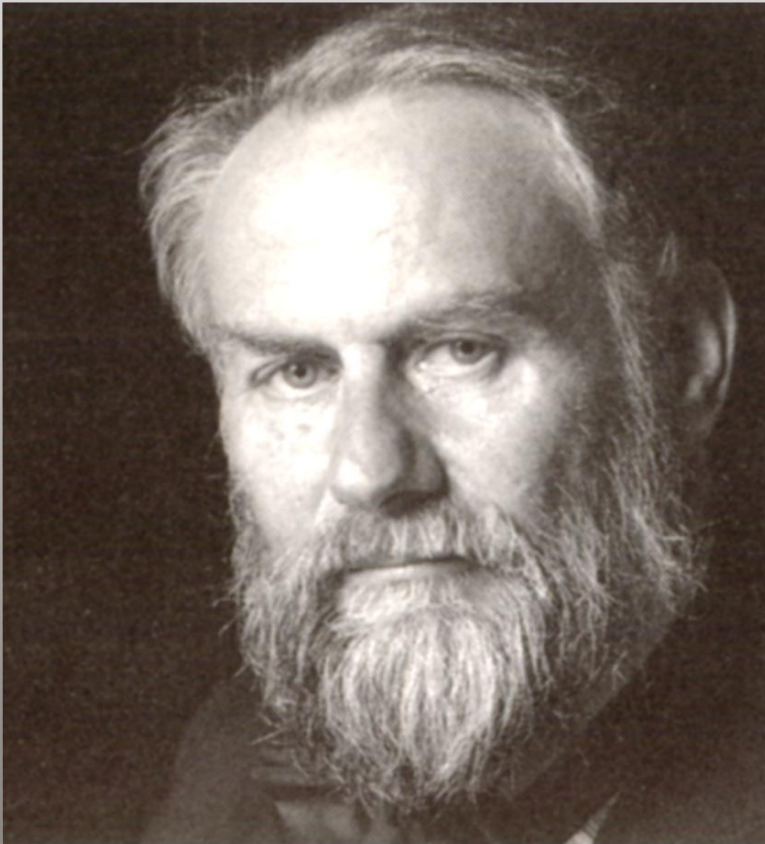
exothermic
reaction



Control parameter

- CO concentration in a N₂/O₂ mixture (synthetic air): 0,39 Vol %
- catalyst composition: Pd/X catalyst i.e. X-type zeolite with variable Pd content, for example: 0.5 weight % Pd
- V_{eff} = 8 ml effective reactor volume
- dv/dt = 50 to 250 ml / min flowrate: τ_{res} = 1 to 10 sec residence time
- T_O reactor/oven temperature: 175 – 250 °C

What means synergetics ?



Zitat: H.Haken zur Synergetik:

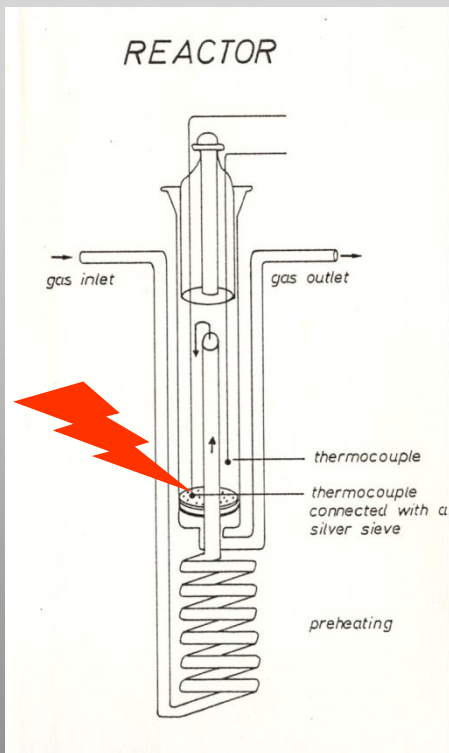
"Was wir untersuchen, ist das **gemeinsame Wirken vieler Untersysteme**, das derart verläuft, daß es Strukturen und Funktionen auf einer makroskopischen Skala erzeugt."

What we are looking for that is the action of many sub-systems in common, creating structures and new functions on a macroscopic scale.

H. Haken; Synergik – eine Einführung, Springer-Verlag Berlin, Heidelberg, ... (1990)

Heterogeneously Catalysed CO-Oxidation

Level of description?



catalyst in the reactor
diameter 1,5 cm; 20 mg



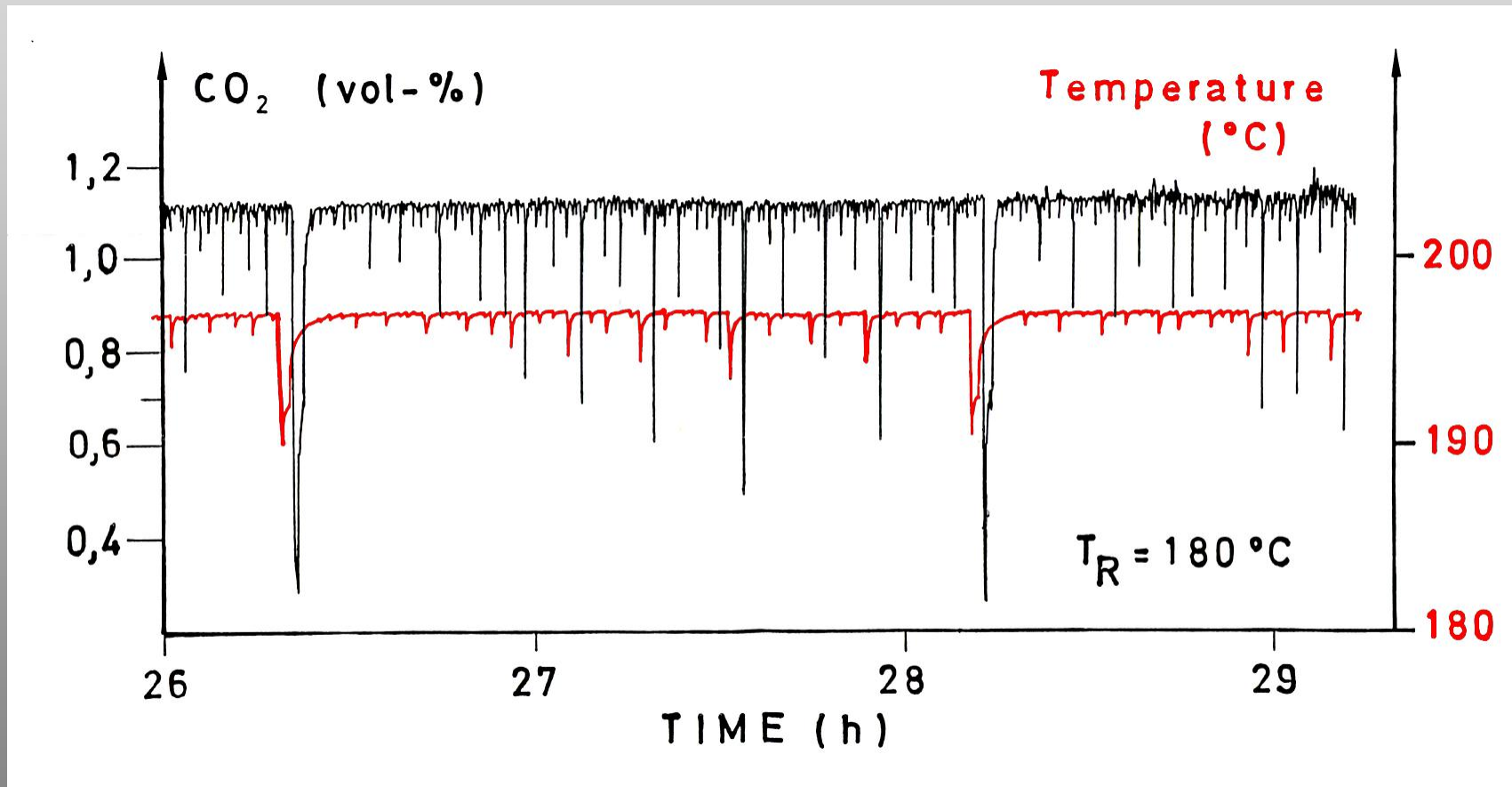
X-type zeolite – single-crystal
20 μm



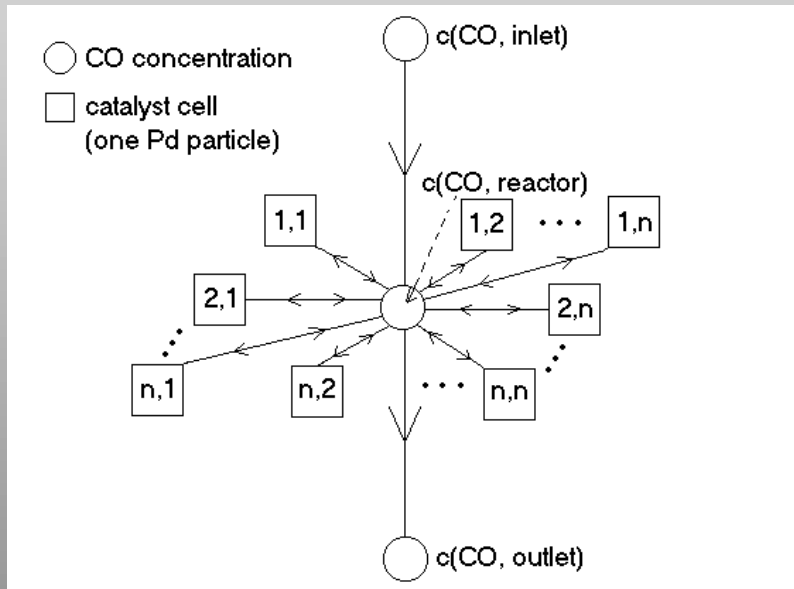
Palladium crystals 3 nm in the
zeolite-single-crystal

$\sim 3 \cdot 10^{13}$ Pd-particle in the catalyst

Oscillation of CO₂ - Concentration and Temperature



Sub-system: Elementary reactor



Elementary reactor:
~ $3 \cdot 10^{11}$ Pd-particles

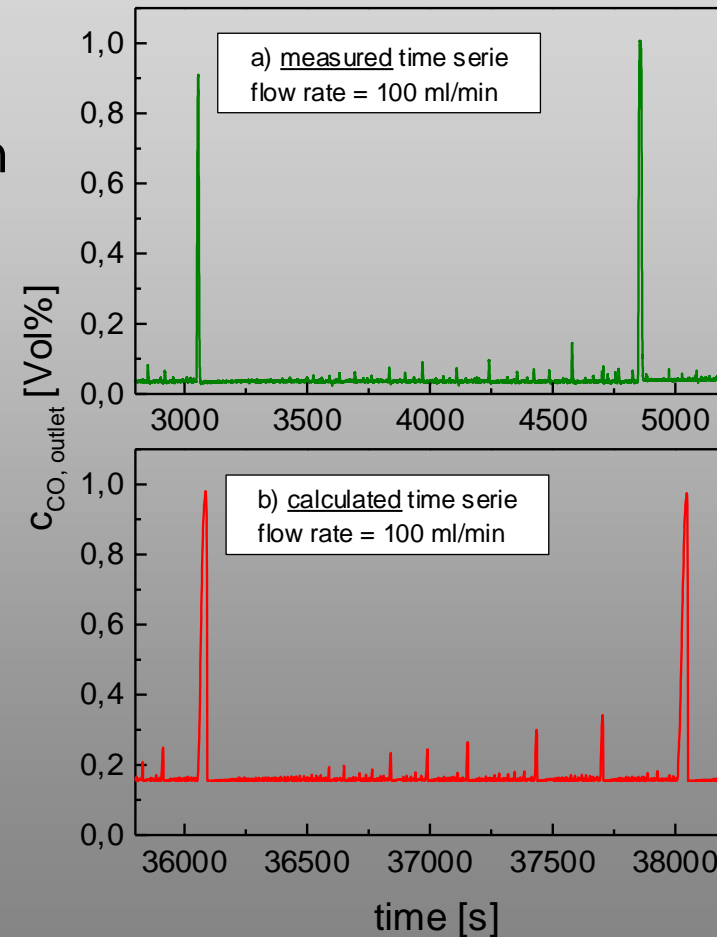
Temporal fractal
structure formation

Experiment

CO-oxidation in a
micro-reactor

Modell

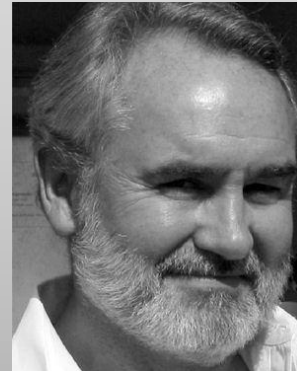
100 coupled
elementary-
reactors



Synergie der Synergetik - Beispiele



Michael Stadler
Psychology



J.A.S. Kelso
brain research



Alexander Mikhailov
PC – Bio-molecules



Wolfgang Wildgen
Linguistics

Ludger Rensing
Cell-biology



The right view on our world



H. Haken

P. Plath





„Das mußte doch `mal
gesagt werden!“

“One already had to say
it!“

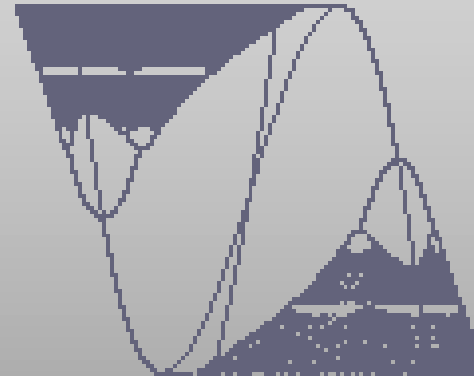
**Thank you
for your attention**

Rudolf Friedrich
in 2007

Blick zurück im Glück (Elisabeth Swart) View Back in Luck



Peter J. Plath
in 2007



Wirrwarr-
Attraktor

Hurly-burly
attractor

Hurly burly: a complex system,
i.e. an attractor without only one trajectory

$$x(t+1) = b_1 x^3(t) + b_2 x(t) - y(t) + x(t)$$

$$y(t+1) = a_1 x^2(t+1) + a_2 x(t+1) - a_3$$